

大阪市立大学工学部 正員 三瀬 貞，正員 山田 優
日本水道コンサルタント 正員 松本 博司

1. まえがき 再生アスファルト混合物について、従来の新しい混合物と異なり問題点多くして、混合物中のアスファルト性状の大さな変動と不均一性がある。そこで、再生混合物の品質を評価するのに役立つアスファルト性状の表示と、アスファルトの不均一性混合が品質に及ぼす影響について検討した。

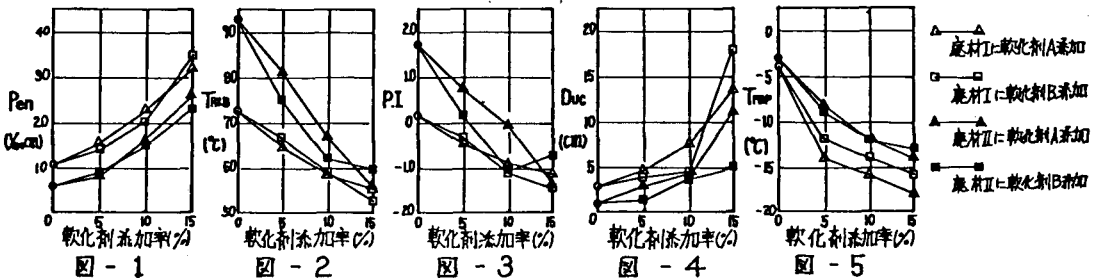
乙、再生混合物が β 回収したアスファルトの試験。再生混合物

貯蔵されたアスファルトの各種試験値を得るために、実験室で廃材を再加熱混和して締固めた後、アスファルトを回収した。廃材とレバ用の再加熱アスファルト混合物を表-1に示す。骨材粒度は13mm密粒度アスコンの範囲内、アスファルト量は新しい材料の舗装要綱による設計アスファルト量である6%にて調整した。廃材の加熱再生に当っては、現在試行されている再生法を想定して、乙種類の軟化剤(表-2)の添加や新しい材料との混合を行った。再生混合物から回収したアスファルトの試験項目は、針入度Pen.(25°C)、軟化点TRAB、針入度指数PI、伸度Duc.(15°C)およびフラー式破壊長TFBPで、軟化剤の添加や新しい材料への廃材の混入に伴うこれらの変化を図-1～10に示す。廃材100%の再生混合物からの回収アスファルトは新しい混合物からの回収アスファルトに比べて、Pen.が小さく、TRABが高く、PIが大きく、Duc.が小さく、TFBPが高くなる。軟化剤の添加とともに、Pen.は大きくなり、TRABは低く、PIは小さく、Duc.は大きくなり、TFBPは低くなる。また、廃材混入率の増加とともに、新しい混合物からのアスファルト性状から廃材100%再生混合物のアスファルト性状に近づく。

表-2 軟化剤の組成

	アスフ	ゾン	着地	燃耗
燃耗A	0.1	4	88	8
燃耗B	0.5	9	(60-70)	30

燃耗度アスコンの範
ト量である6%へ
を想定して、乙種類
から回収したアスフ
I. 燃度Duc.(15%)およ
入に伴うそれらの変

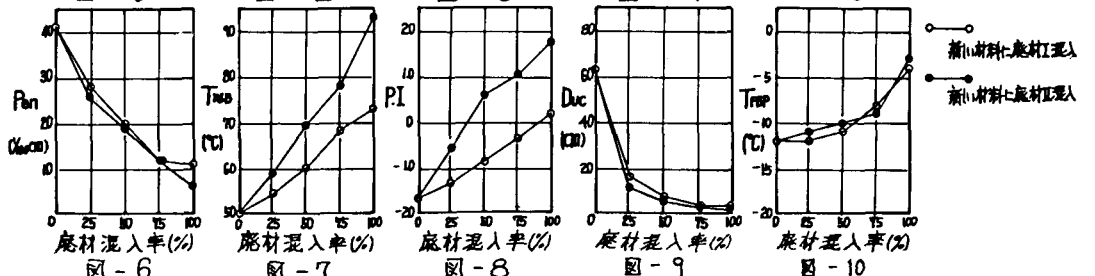


- 1

- 2

- 3

4



110

1 - 7

- 8 -

9

10

3. 再生混合物の品質とアスファルトの試験値の関係 鋪装用アスファルト混合物の品質を評価する指標は種々考えられるが、よく用いられるものとして、曲げ試験の破壊時の曲げモーメントとホーラートラック（HDL）試験の変形率RDがあげられる。前者は比較的低温時のたわみ性、後者は比較的高温時の流動性を評価する代表的な指標と言える。そこで、軟化剤を添加したり、新しい材料に混入したソリューション再生混合物についてこれらを試験し、回収アスファルトの試験値との関係を調べた。供試体はローラーコンパクターとホーラートラック（HDL）試験機によるトラバース走行で作成し、曲げ試験には $40 \times 40 \times 300\text{mm}$ の4面カットした。曲げ試験のスパンは 270mm 、中央に亘載荷、ひ

ずれ速度は 1.1×10^{-3} /sec、試験温度は $-20 \sim 10$ °C、ホーリートラッキン試験の荷重は 5.5 kg/cm^2 (539 kPa) 試験温度は 60°C を標準とした。この結果、前述した回収アスファルトの各性質と Σ_b および RD との間に必ずしも関係が見られるが、 T_{TFP} と T_{TRB} の値を使い $2 \frac{T - T_{TFP}}{RI} \times \frac{T - T_{TRB}}{RI}$ を計算し、それと Σ_b 、RD との関係を調べると図-11、12 に示すようよりよい相関が見られた。ここで、T は粘着力試験の温度、RI は三種類が文献(1)で提案したアスファルトのレオロジー指数で $RI = T_{TRB} - T_{TFP}$ である。

これらの関係は混合物の骨材粒度や締固め密度から力学試験の載荷方法及びにより異なってくると予想されるが、アスファルトが違うことを一定であれば、再生混合物の品質を評価するのに大変都合がよい。

4. アスファルトの不均一な混合が混合物の力学性状に及ぼす影響

図-11 で、新材の Σ_b または磨材の Σ_b は他に比べて大きいという傾向が見られる。

この原因として、磨材に付着してある

古いアスファルトが新しいアスファルトまたは軟化剤と十分に混合されていないことが考えられる。この二つに加えてさらに検討を加えたため、あらかじめ新しいアスファルトを加熱融解させて作った古いアスファルトと新しいアスファルトを PV ミックステレーベン材と混合して作成した後、新しいアスファルトを加えて再び混合して作った供試体の試験(A)を比較した。(図-13~15 参照)

アスファルトの不均一な混合が予想される後者は前者に比べて Σ_b が大きく、RD が小さく、軟化剤を用いた再生の場合についても、同じような実験で図-16 に示すようにやややの傾向を見たが、明らかな違いは現出せなかつた。古いアスファルトと軟化剤の混合は、古いアスファルトと新しいアスファルトの混合よりも容易ということがもしかなかつたが、今後さらに検討の余地がある。

5. 結論

$2 \frac{T - T_{TFP}}{RI} \times \frac{T - T_{TRB}}{RI}$ はそれが水混合物の力学性質および流動性を表す Σ_b 、RD とよい相関があり、再生混合物の品質評価に役立つアスファルト性状の表示法と言える。アスファルトの不均一混合は再生混合物の品質に影響を及ぼす可能性があるが、どの程度については再生技術を含めさらに検討が必要である。

文献(1) 土木学会論文報告集、No.191、1971.7.



図-11



図-12

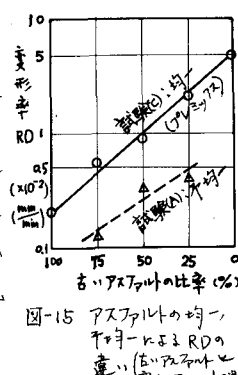


図-15 アスファルトの均一化率と Σ_b および RD の関係 (古いアスファルトと新しいアスファルト)

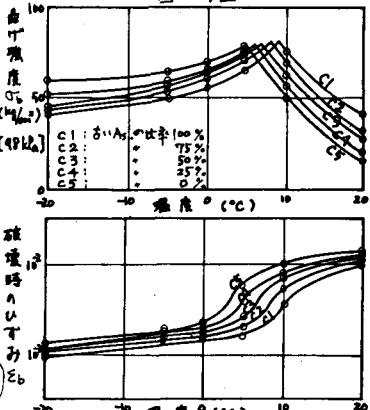


図-13 試験(C): アスファルトの均一化混合における Σ_b と T_d

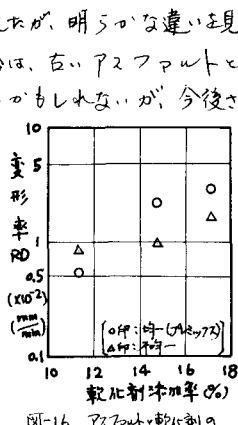


図-16 アスファルト軟化剤の均一混合、不均一混合における Σ_b と T_d の違い

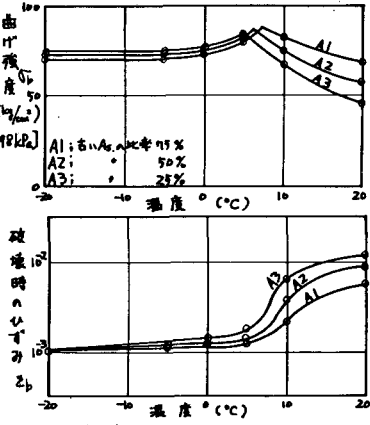


図-14 試験(A): アスファルト均一化混合における Σ_b と T_d